

Л. В. Мольченко ¹, И. И. Лоос ²

ВЛИЯНИЕ КОНУСНОСТИ НА НАПРЯЖЕННО-ДЕФОРМИРОВАННОЕ СОСТОЯНИЕ ГИБКОЙ ОРТОТРОПНОЙ КОНИЧЕСКОЙ ОБОЛОЧКИ В НЕСТАЦИОНАРНОМ МАГНИТНОМ ПОЛЕ

*Киевский национальный университет имени Тараса Шевченко,
пр. Глушкова, 2, 01601 МСП, Киев, Украина;
e-mail: ¹ Mol_lv@univ.kiev.ua, ² Loiri@univ.kiev.ua*

Abstract. A problem of magnetoelasticity of flexible conical shell in non-stationary magnetic field is considered. An analysis of the effect of conicity on the shell stress-strain state is carried out.

Key words: shell, magnetic field, magnetoelasticity.

Введение.

В механике сопряженных полей важное место занимают вопросы изучения движения сплошной среды с учетом электромагнитных эффектов. Исследования по механике связанных полей в деформируемых телах имеют как фундаментальный, так и прикладной характер, что придает им особую актуальность. В современной технике используются конструкционные материалы, которые в недеформированном состоянии являются анизотропными, причем анизотропия свойств таких материалов возникает в результате применения различных технологических процессов. В последнее время созданы изотропные материалы с новыми электромагнитными свойствами. Эти материалы могут быть эффективно использованы в различных областях современной техники. Изучению подобных вопросов были посвящены работы [1, 2, 5, 11, 12, 14, 17, 18 и др.].

В большинстве случаев взаимодействие электромагнитного поля с упругим телом происходит при наличии стороннего электрического тока. При этом приходим к задаче электромагнитоупругости. Однако задачи, связанные с вопросами учета сторонних токов, в основном, достаточно сложные, но существенно упрощаются в случае тонких тел, подверженных малым изменениям формы при деформации. В данной статье рассмотрена деформация гибкого ортотропного конуса с ортотропной электропроводностью при воздействии внешнего магнитного поля и стороннего электрического тока.

1. Постановка задачи. Основные уравнения магнитоупругости для ортотропного конуса (осесимметричная постановка).

Рассмотрим гибкие оболочки вращения переменной толщины, у которых координатная поверхность имеет форму, замкнутую в окружном направлении. Предполагаем, что оболочка находится под действием нестационарного механического и электромагнитного воздействий. Пренебрегая влиянием процессов поляризации и намагничивания, а также температурными напряжениями, примем, что к торцу оболочки подводится переменный электрический ток от внешнего источника. Упругие свойства

материала оболочки являются ортотропными, главные направления упругости которого совпадают с направлениями соответствующих координатных линий, электромагнитные же свойства материала характеризуются тензорами электрической проводимости S_{ij} , магнитной проницаемости μ_{ij} , диэлектрической проницаемости ϵ_{ij} ($i, j = 1, 2, 3$).

Исходя из кристаллофизики [9] и следуя работам [3, 6, 19], для рассматриваемого класса проводящих ортотропных сред с ромбической кристаллической структурой принято, что тензоры S_{ij} , μ_{ij} , ϵ_{ij} имеют диагональный вид.

Координатную поверхность в недеформированном состоянии отнесем к криволинейной ортогональной системе координат s и q , где s – длина дуги образующей (меридиана), отсчитываемая от некоторой фиксированной точки; q – центральный угол в параллельном круге, отсчитываемый от выбранной плоскости. Координатные линии $s = \text{const}$ и $q = \text{const}$ являются линиями главных кривизн координатной поверхности. Выбирая координату g по нормали к координатной поверхности вращения, отнесем оболочку к координатной пространственной системе координат s, q, g . Толщина оболочки является функцией s , $h = h(s)$. В декартовой системе координат x, y, z уравнение координатной поверхности имеет вид

$$x = r(s)\cos q ; y = r(s)\sin q ; z = z(s) \quad (s_0 \leq s \leq s_N ; 0 \leq q \leq 2\pi),$$

где $r = r(s)$ – радиус параллельного круга; $z = z(s)$ – расстояние по оси вращения от начальной плоскости $z = z_0$. Ось OZ совпадает с осью вращения координатной поверхности, а уравнения $x = r(s)$; $z = z(s)$ являются параметрическими уравнениями образующей в плоскости XOZ , которую в дальнейшем будем называть меридианом. Параметры Ламе в данном случае принимают вид $A = 1$, $B = r$, а радиусы главных кривизн R_s и R_q равны, соответственно, радиусам кривизн меридиана и длине отрезка, параллельного нормали, заключенного между координатной поверхностью и осью вращения. Если j – угол между нормалью к координатной поверхности и осью вращения, то имеем

$$\frac{1}{R_q} = \frac{\sin j}{r} ; \frac{dz}{ds} = \sin j .$$

Первое уравнение Кодацци – Гаусса с учетом [4] можно записать в следующем виде: $dr/ds = \cos j$.

Примем, что рассматриваемое ортотропное тело линейно относительно магнитных и электрических свойств. С учетом диагонального вида тензоров S_{ij} , μ_{ij} , ϵ_{ij} и согласно результатам работ [3, 4, 7, 9, 13], система уравнений в криволинейной ортогональной системе координат, позволяющая математически описать нелинейную двумерную модель магнитоупругости ортотропных оболочек вращения, состоит из:

уравнений движения

$$\frac{\partial}{\partial s}(rN_s) - \cos j N_q + \frac{\partial S}{\partial q} + \frac{1}{R_s} \frac{\partial H}{\partial q} + \frac{r}{R_s} Q_s + r(p_s + r_0 F_s^\wedge) = r r_0 h \frac{\partial^2 u}{\partial t^2} ;$$

$$\frac{\partial N_q}{\partial q} + \frac{1}{r} \frac{\partial}{\partial s}(r^2 S) + \frac{\partial}{\partial s}(\sin j H) + \frac{\cos j}{R_s} H + \sin j Q_q +$$

$$\begin{aligned}
& + r(p_q + r_0 F_q^\wedge) = r r_0 h \frac{\partial^2 v}{\partial t^2}; \\
& \frac{\partial}{\partial s}(r Q_s) + \frac{\partial Q_q}{\partial q} - \frac{r}{R_s} N_s - \sin j N_q + r(p_g + r_0 F_g^\wedge) = r r_0 h \frac{\partial^2 w}{\partial t^2}; \\
& \frac{\partial H}{\partial q} + \frac{\partial}{\partial s}(r M_s) - \cos j M_q - r Q_s - r \left(N_s - \frac{\sin j}{r} M_q \right) J_s - r S J_q = 0; \\
& \frac{1}{r} \frac{\partial}{\partial s}(r^2 H) + \frac{\partial M_q}{\partial q} - r Q_q + \cos j H - r \left(N_q - \frac{1}{R_s} M_s \right) J_q - r S J_s = 0; \\
& \left(S = N_{q s} - \frac{1}{R_s} M_{s q} = N_{s q} - \frac{\sin j}{r} M_{q s}; H = M_{s q} = M_{q s} \right);
\end{aligned} \tag{1}$$

уравнений Максвелла

$$\begin{aligned}
& -\frac{\partial B_g}{\partial t} = \frac{1}{r} \left(\frac{\partial(r E_q)}{\partial s} - \frac{\partial E_s}{\partial q} \right); \\
& S_1 \left[E_s + \frac{\partial v}{\partial t} B_g - 0,5 \frac{\partial w}{\partial t} (B_q^+ + B_q^-) \right] = \frac{1}{r} \left(\frac{\partial H_g}{\partial q} - \frac{r(H_q^+ - H_q^-)}{h} \right); \\
& S_2 \left[E_q - \frac{\partial u}{\partial t} B_g + 0,5 \frac{\partial w}{\partial t} (B_s^+ + B_s^-) \right] = -\frac{\partial H_g}{\partial s} + \frac{(H_s^+ - H_s^-)}{h};
\end{aligned} \tag{2}$$

геометрических соотношений для гибких оболочек

$$\begin{aligned}
& e_s = \frac{\partial u}{\partial s} + \frac{w}{R_s} + \frac{1}{2} J_s^2; \quad e_q = \frac{1}{r} \frac{\partial v}{\partial q} + \frac{\cos j}{r} u + \frac{\sin j}{r} w + \frac{1}{2} J_q^2; \\
& e_{s q} = \frac{1}{r} \frac{\partial u}{\partial q} + r \frac{\partial}{\partial s} \left(\frac{v}{r} \right) + J_s J_q; \\
& c_s = \frac{\partial J_s}{\partial s}; \quad c_q = \frac{1}{r} \frac{\partial J_q}{\partial q} + \frac{\cos j}{r} J_s;
\end{aligned} \tag{3}$$

$$c_{sq} = \frac{\partial J_q}{\partial s} + \frac{1}{r} \frac{\partial J_s}{\partial q} - \frac{\cos j}{r} J_q + \frac{1}{R_s} \left(\frac{1}{r} \frac{\partial u}{\partial q} - \frac{\cos j}{r} v \right) + \frac{\sin j}{r} \frac{\partial v}{\partial s};$$

$$J_s = -\frac{\partial w}{\partial s} + \frac{u}{R_s}; \quad J_q = -\frac{1}{r} \frac{\partial w}{\partial q} + \frac{\sin j}{r} v; \tag{4}$$

соотношений упругости

$$N_s = \frac{e_s h}{1 - n_s n_q} (e_s + n_q e_q); \quad N_q = \frac{e_q h}{1 - n_s n_q} (e_q + n_s e_s); \quad S = g_{s q} h e_{s q};$$

$$M_s = \frac{e_s h^3}{12(1-n_s n_q)} (c_s + n_q c_q); \quad M_q = \frac{e_q h^3}{12(1-n_s n_q)} (c_q + n_s c_s);$$

$$H = g_{s q} \frac{h^3}{12} 2 c_{s q} \quad (5)$$

$$(n_s = n_{q s}; \quad n_q = n_{s q}; \quad e_s n_q = e_q n_s).$$

Компоненты силы Лоренца имеют вид [9]

$$r_0 F_s^{\wedge} = -h J_{q cm} B_g + s_1 h \left[E_q B_g - \frac{\partial u}{\partial t} B_g^2 + 0,5 \frac{\partial w}{\partial t} (B_s^+ + B_s^-) B_g \right] +$$

$$+ s_1 h \frac{\partial v}{\partial t} \left[0,25 (B_s^+ + B_s^-) (B_q^+ + B_q^-) + \frac{1}{12} (B_s^+ - B_s^-) (B_q^+ - B_q^-) - \frac{1}{12} (B_q^+ + B_q^-) B_g \right];$$

$$r_0 F_q^{\wedge} = h J_{s cm} B_g - s_2 h \times \left\{ \frac{m_2}{s_1 r} \left(\frac{\partial B_g}{\partial q} - \frac{r (B_q^+ - B_q^-)}{h} \right) - \frac{\partial v}{\partial t} B_g + \right.$$

$$+ 0,5 \frac{\partial w}{\partial t} (B_q^+ + B_q^-) \left. \right\} B_g + s_2 h 0,5 \frac{\partial w}{\partial t} (B_q^+ + B_q^-) B_g - s_2 h \frac{\partial v}{\partial t} B_g^2 - s_2 h \frac{\partial v}{\partial t} \times$$

$$\times \left(0,25 (B_q^+ + B_q^-)^2 + \frac{1}{12} (B_q^+ - B_q^-)^2 - 0,5 (B_s^+ + B_s^-) B_g \right);$$

$$r_0 F_g^{\wedge} = 0,5 h \left[-J_{s cm} (B_q^+ + B_q^-) + J_{q cm} (B_s^+ + B_s^-) \right] + \quad (6)$$

$$+ 0,5 s_3 h \left\{ \frac{m_2}{s_1 r} \left(\frac{\partial B_g}{\partial q} - \frac{r (B_q^+ - B_q^-)}{h} \right) - \frac{\partial v}{\partial t} B_g + 0,5 \frac{\partial w}{\partial t} (B_q^+ + B_q^-) \right\} (B_q^+ + B_q^-) -$$

$$- s_3 h 0,5 E_q (B_s^+ + B_s^-) + s_3 h 0,5 \frac{\partial u}{\partial t} (B_s^+ + B_s^-) B_g + s_3 h 0,5 \frac{\partial v}{\partial t} (B_q^+ + B_q^-) B_g -$$

$$- s_3 h \frac{\partial w}{\partial t} \left[0,25 (B_q^+ + B_q^-)^2 + 0,25 (B_s^+ + B_s^-)^2 + \frac{1}{12} (B_q^+ - B_q^-)^2 + \frac{1}{12} (B_s^+ - B_s^-)^2 \right].$$

Здесь $J_{s cm}$, $J_{q cm}$ – составляющие плотности электрического тока от внешнего источника; s_i – электрическая проводимость; E – модуль Юнга; n – коэффициент Пуассона; B_s^{\pm} , B_q^{\pm} – известные из решения задачи магнитостатики компоненты магнитной индукции на внешней (+) и внутренней (-) поверхностях оболочки. Остальные обозначения общеприняты в магнитоупругости [1, 9, 10].

Используя приведенные уравнения магнитоупругости (1) – (6), построим разрешающую систему дифференциальных уравнений ортотропной конической оболочки в осесимметричной постановке. Учитывая осесимметричность, предполагаем, что все компоненты, входящие в уравнения, не зависят от окружной координаты q .

После соответствующих преобразований [4, 9, 15] получаем следующую связанную систему нелинейных дифференциальных уравнений магнитоупругости для гибкой ортотропной конической оболочки с учетом электромагнитной ортотропии. Представим ее в форме Коши

$$\begin{aligned}
\frac{\partial u}{\partial s} &= \frac{1-n_s n_q}{e_s h} N_s - \frac{n_q \cos j}{r} u - \frac{n_q \sin j}{r} w - \frac{1}{2} J_s^2; \quad \frac{\partial w}{\partial s} = -J_s; \\
\frac{\partial J_s}{\partial s} &= \frac{12(1-n_s n_q)}{e_s h^3} M_s - \frac{n_q \cos j}{r} J_s; \\
\frac{\partial N_s}{\partial s} &= \frac{\cos j}{r} \left(n_s \frac{e_q}{e_s} - 1 \right) N_s + \frac{e_q h \cos^2 j}{r^2} u + \frac{e_q h \cos j \sin j}{r^2} w - P_s + h J_{q \text{ cm}} B_g - \\
&\quad - s_1 h \left[E_q B_g - \frac{\partial u}{\partial t} B_g^2 + 0,5 \frac{\partial w}{\partial t} B_g (B_s^+ + B_s^-) \right] + r h \frac{\partial^2 u}{\partial t^2}; \\
\frac{\partial Q_s}{\partial s} &= -\frac{\cos j}{r} Q_s + n_s \frac{e_q \sin j}{e_s r} N_s + \frac{e_q h \sin j \cos j}{r^2} u + e_q h \frac{\sin^2 j}{r^2} w - \\
&\quad - P_g - 0,5 h J_{q \text{ cm}} (B_s^+ + B_s^-) - s_3 h [-0,5 E_q (B_s^+ + B_s^-) - 0,25 \frac{\partial w}{\partial t} (B_s^+ + B_s^-)^2 - \\
&\quad - \frac{1}{12} \frac{\partial w}{\partial t} (B_s^+ - B_s^-)^2 + 0,5 \frac{\partial u}{\partial t} B_g (B_s^+ + B_s^-)] + r h \frac{\partial^2 w}{\partial t^2}; \\
\frac{\partial M_s}{\partial s} &= \frac{\cos j}{r} \left(n_s \frac{e_q}{e_s} - 1 \right) M_s + \frac{e_q h^3 \cos^2 j}{12 r^2} J_s + Q_s + N_s J_s - \\
&\quad - \frac{\sin j}{r} n_s \frac{e_q}{e_s} M_s + \frac{e_q h^3 \sin j \cos j}{12 r^2} J_s^2; \\
\frac{\partial B_g}{\partial s} &= -s_2 m \left[E_q + 0,5 \frac{\partial w}{\partial t} (B_s^+ + B_s^-) - \frac{\partial u}{\partial t} B_{g0} \right] + \frac{B_s^+ - B_s^-}{h}; \\
\frac{\partial E_q}{\partial s} &= -\frac{\partial B_g}{\partial t} - \frac{\cos j}{r} E_q.
\end{aligned} \tag{7}$$

Полученная связанная разрешающая система нелинейных дифференциальных уравнений восьмого порядка (7) описывает напряженно-деформированное состояние гибких токонесущих ортотропных конических оболочек, обладающих ортотропной электропроводностью. Составляющие силы Лоренца учитывают скорость деформирования оболочки, внешнее магнитное поле, величину и напряженность тока проводимости относительно внешнего магнитного поля, механическую и электромагнитную ортотропии материала. Добавив к полученной системе уравнений начальные и граничные условия, имеем краевую задачу. Эта краевая задача решается численно в соответствии с методикой, изложенной в работах [4, 9, 16, 17]. Предлагаемый подход к численному решению краевой задачи магнитоупругости основывается на последовательном применении схемы Ньюмарка, метода квазилинеаризации и метода дискретной ортогонализации.

2. Числовой пример.

Рассмотрим усеченную ортотропную коническую оболочку из бороалюминия, находящуюся во внешнем магнитном поле, под воздействием нормальной составляющей механической силы $P_g = 5 \cdot 10^3 \sin wt \text{ Н/м}^2$ и внешнего электрического тока

$$J_{qcm} = 5 \cdot 10^5 \sin wt \text{ А/м}^2.$$

Толщина оболочки постоянная. Напряженно-деформированное состояние оболочки определяем в зависимости от угла j ($j = p/30; p/15; p/10; p/6$).

Параметры оболочки и материала выбираем следующие:

$$s_0 = 0; s_N = 0,4 \text{ м}; e_s = 22,9 \cdot 10^{10} \text{ Н/м}^2; e_q = 10,7 \cdot 10^{10} \text{ Н/м}^2;$$

$$s_1 = s_2 = 0,454 \cdot 10^8 \text{ (ом} \cdot \text{м)}^{-1}; s_3 = 0,2 \cdot 10^8 \text{ (ом} \cdot \text{м)}^{-1};$$

$$n_s = 0,262; n_q = 0,32; m = 1,256 \cdot 10^{-6} \text{ Гн/м}; w = 314,16 \text{ с}^{-1}; r = 2600 \text{ кг/м}^3;$$

$$h_0 = 5 \cdot 10^{-4} \text{ м}; B_s^\pm = B_q^\pm = 0,1 \text{ Г}.$$

Граничные условия выбираются следующими:

$$u = 0; M_s = 0; Q_s = -200 \text{ Н/м}; B_g = 0,3 \sin wt \text{ при } s = 0,$$

$$u = 0; w = 0; J_s = 0; B_g = 0 \text{ при } s = 0,4.$$

Решение задачи получено на временном интервале $t = 1 \cdot 10^{-2} \text{ с}$, шаг интегрирования по времени принят равным: $\Delta t = 1 \cdot 10^{-3} \text{ с}$ при ста точках интегрирования по длине оболочки.

На рис. 1 показано изменение максимальных прогибов $w = w(s) / h_0$ для значений угла $j = p/6; p/10; p/15; p/30$ (соответственно графики 1 – 4).

Точки 1 – 11 по оси s – это точки выдачи результатов, которые соответствуют $s = 0; 0,05; 0,1; 0,15; 0,2; 0,25; 0,3; 0,35; 0,4; 0,45; 0,5$. Максимальные значения прогибов достигаются на пятой итерации по времени при $t = 5 \cdot 10^{-3} \text{ с}$, что согласуется с видом нагрузки. Видно, что с увеличением угла конусности прогиб увеличивается.

На рис. 2 – 4 показаны графики изменения $S_q^+(s)$, $T_q^+(s)$, $E_q(s)$ для рассмотренных выше значений угла j при $t = 5 \cdot 10^{-3} \text{ с}$, что отвечает максимальным значениям прогиба на рис. 1.

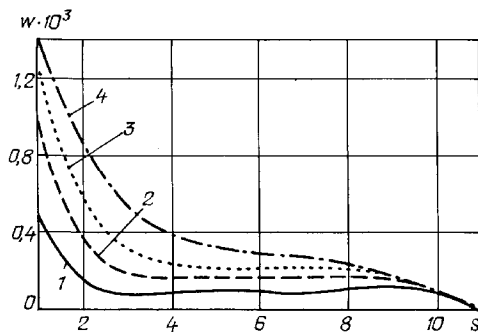


Рис. 1

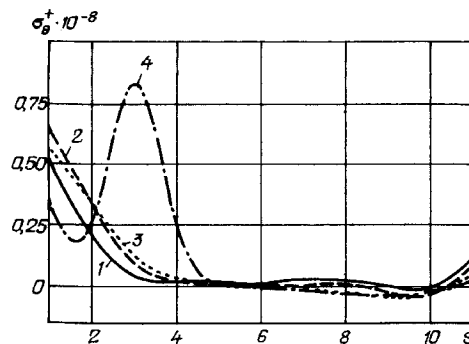


Рис. 2

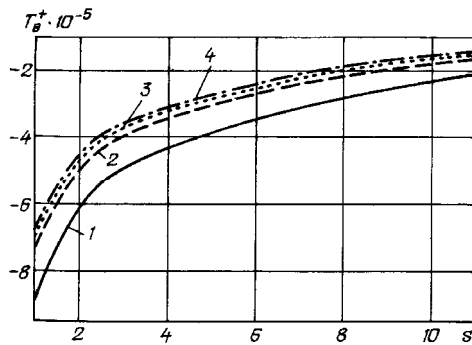


Рис. 3

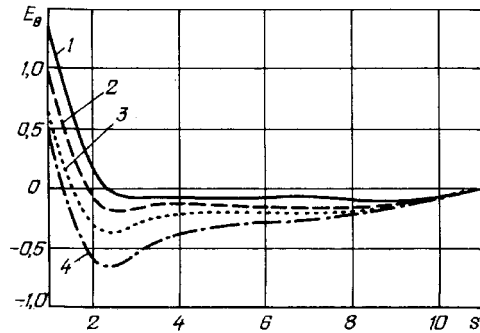


Рис. 4

Исходя из приведенных данных, можно судить о влиянии изменения угла на напряженно-деформированное состояние оболочки (номера кривых 1 – 4 соответствуют принятым на рис. 1). Здесь $s_q^+(s)$, $T_q^+(s)$ – механические и магнитные напряжения на внешней поверхности конической оболочки.

На рис. 5 представлено изменение составляющей напряженности электрического поля $E_q(t)$ на контуре при $s=0,04\text{м}$ при изменении угла j . На графиках видно монотонное изменение $E_q(t)$ при изменении угла. Как и в предыдущих случаях, с увеличением угла конусности напряженность электрического поля увеличивается.

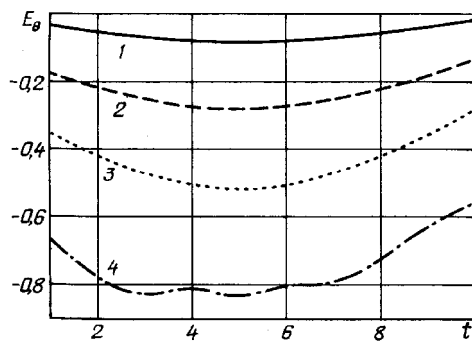


Рис. 5

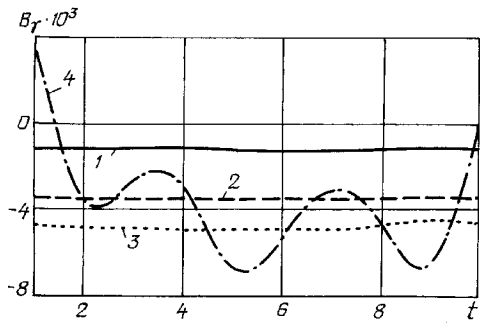


Рис. 6

На рис. 6 показано распределение нормальной составляющей магнитной индукции $B_g(t)$ при $s=0,04\text{м}$ для углов, указанных выше. Следует отметить, что при $j = p/6; p/10; p/15$ значения магнитной индукции уменьшаются с увеличением угла и остаются монотонными. При $j = p/30$ значения $B_g(t)$ имеют немонотонный характер, происходит чередование экстремальных значений $B_g(t)$ по абсолютной величине.

Выводы.

На основании полученных уравнений с использованием предложенной методики имеем возможность учитывать как ортотропию материала, так и ортотропию электромагнитного поля конической оболочки, а также влияние деформаций на электромагнитные свойства тела.

Такие задачи электромагнитоупругости весьма актуальны с точки зрения приложений. В случае тонких ортотропных или изотропных оболочек с ортотропной электропроводностью можно решать задачи магнитоупругости путем вариации всех физико-механических параметров оболочки. В данном случае изучено влияние углов конусности на напряженно-деформированное состояние ортотропной оболочки.

Р Е З Ю М Е . Розглянуто задачу магнітопружності для гнучкої ортотропної конічної оболонки в нестационарному магнітному полі. Проведено аналіз впливу конусності на напружено-деформований стан оболонки.

1. Амбарцумян С.А., Багдасарян Г.Е., Белубекян М.В. Магнитоупругость тонких оболочек и пластин. – М.: Наука, 1977. – 272 с.
2. Амбарцумян С.А., Белубекян М.В. Некоторые задачи электромагнитоупругости пластин. – Ереван: Изд-во Ереван. ун-та, 1991. – 144 с.
3. Багдасарян Г.Е., Данонян З.Н. Уравнения движения в перемещениях идеально-проводящих упругих анизотропных сред при наличии магнитного поля // Механика: Межвуз. сб. науч. тр. Механика деформируемого твердого тела. – 1984. – Вып. 3. – С. 32 – 42.
4. Григоренко Я.М., Мольченко Л.В. Основы теории пластин та оболонок. – К.: Либідь, 1993. – 231 с.
5. Мольченко Л.В., Лоос І.І., Індіамінов Р.Ш. Магнітопружне деформування ортотропних оболонок обертання з ортотропною електропровідністю // Вісн. Київ. ун-ту. Сер. математика, механіка. – 2008. – Вип. 19 – 20. – С. 53 – 59.
6. Най Дж. Физические свойства кристаллов и их описание при помощи тензоров и матриц. – М.: Мир, 1967. – 385 с.
7. Новожилов В.В. Основы нелинейной теории упругости. – М.: Гостехиздат, 1948. – 212 с.
8. Сиротин Ю.И., Шаскольская М.П. Основы кристаллофизики. – М.: Наука, 1979. – 639 с.
9. Улитко А.Ф., Мольченко Л.В., Ковальчук В.Ф. Магнітопружність при динамічному навантаженні. – К.: Либідь, 1994. – 155 с.
10. Green A.E., Naghdi P.M. On electromagnetic effects in the theory of shells and plates // Phil. Trans. Royal. Soc. (London). – 1983. – А 309. – P. 559 – 610.
11. Grigorenko Ya. M., Rozhok L. S. Stress Analysis of Circumferentially Corrugated Hollow Orthotropic Cylindrical Shells with Elliptic Cross Section // Int. Appl. Mech. – 2006. – 42, N 12. – P. 1389 – 1397.
12. Grigorenko Ya. M., Yaremchenko S.N. Influence of Orthotropy on Displacements and Stresses in Nonthin Cylindrical Shells with Elliptic Cross Section // Int. Appl. Mech. – 2007. – 43, N 6. – P. 654 – 661.
13. Kaliski S. Wave equations of thermoelectromagnetoelasticity // Proc. Vibr. Probl. Pol. Acad. Sci. – 1965. – 6, N 3. – P. 231 – 265.
14. Kaloerov S.A. Determining the Intensity Factors for Stresses Electric-Flux and Electric-Field Strength in Multiply Connected Electroelastic Anisotropic Media // Int. Appl. Mech. – 2007. – 43, N 6. – P. 631 – 637.
15. Molchenko L.V. A Method for Solving Two-Dimensional Nonlinear Boundary-Value Problems of Magnetoelasticity for Thin Shells // Int. Appl. Mech. – 2005. – 41, N 5. – P. 490 – 495.
16. Molchenko L.V., Dikii P.V. Two-Dimensional Magnetoelastic Solutions for a Circular Plate // Int. Appl. Mech. – 2003. – 39, N 11. – P. 1328 – 1334.
17. Molchenko L.V., Loos I.I., Indiaminov R.Sh. Determining the Stress State of Flexible Orthotropic Shells of Revolution in Magnetic Field // Int. Appl. Mech. – 2008. – 44, N 8. – P. 882 – 891.
18. Molchenko L.V., Loos I.I., Indiaminov R.Sh. Stress-Strain State of Flexible Ring Plates of Variable Stiffness in Magnetic Field // Int. Appl. Mech. – 2009. – 45, N 11. – P. 1236 – 1242.
19. Moon F.C. Magneto-Solid Mechanics. – New-York: Wiley, 1984. – 437 p.

Поступила 02.07.2009

Утверждена в печать 15.06.2010